Сечение ионизации и вклад континуума в оптические характеристики ридберговского атома

Е.А. Некипелов, В.Д. Овсянников Воронежский госуниверситет, Физический факультет

394006, Воронеж, Университетская пл. 1

В настоящем докладе вклад непрерывного спектра в суммы сил осцилляторов (q=0) и их моментов (q=±1,...)

$$S_{nl}(q) = \sum_{n'} 2\omega_{n'n}^{1+q} \left| \left\langle n' \right| z \left| nl \right\rangle \right|^2$$

представлен в виде интеграла от частотно-зависящего сечения одноэлектронной фотоионизации конкретного состояния атома.

Возможность представить частотную зависимость сечения в виде простой аналитической функции для произвольных состояний атома водорода и для ридберговских состояний многоэлектронных атомов позволяет выразить вклад континуума в оптические характеристики таких состояний в замкнутом виде.

Проанализирована зависимость вклада от кратности момента силы осциллятора и от главного квантового числа ридберговского состояния.

Получены прецизионные оценки вклада континуума в штарковский сдвиг ридберговских уровней тепловым излучением окружающей среды, аппроксимируемой абсолютно черным телом с заданной температурой. Такие оценки играют важную роль для контроля неопределенности стандартов частоты-времени на атомах в оптических решетках.

Содержание

- 1. Сечение ионизации ридберговского атома
- 2. Вклад континуума в правила сумм сил осцилляторов
- 3. Вклад континуума в штарковский сдвиг атомных уровней излучением черного тела.
- 4. Результаты численных расчетов и обсуждения.

1. Сечение фотоионизации

$$\sigma_{nl}(\omega) = \frac{4\pi^2 \omega}{c} |\langle \varepsilon | z | nl \rangle|^2, \quad \varepsilon = \omega - |\mathbb{E}_{nl}|,$$

c = 137.036 ат. ед. — скорость света.

Зависимость от частоты для водорода и ридберговских состояний, $n>>l,\ l=0,1,2,...$, имеет вид:

$$\sigma_{nl}(\omega) = \sigma_{nl}^{thr} \left| \frac{\mathbb{E}_{nl}}{\omega} \right|^{\beta_{nl}},$$

где

$$\beta_{nl} = \beta_l^{(0)} + \frac{\beta_l^{(1)}}{n} + \frac{\beta_l^{(2)}}{n^2} \to \frac{7}{3}$$

А для сечения пороговой ионизации можно использовать асимптотическое представление в виде:

$$\sigma_{nl}^{thr} = s_l^{(0)} n^p (1 + s_l^{(1)} / n + s_l^{(2)} / n^2)$$

В квазиклассическом приближении $p \to 5/3$, однако при p = 53/32 данное уравнение более точно воспроизводит данные численных расчетов

Параметры сечения пороговой ионизации ридберговских серий атомов водорода

серия	$S_l^{(0)}$, Мб	$S_l^{(1)}$	$S_l^{(2)}$
nS	2.484	3.138	-8.209
nP	2.479	3.596	-7.298
nD	2.469	4.537	-7.839

ФФК-11, Дубна 2011

2. Вклад континуума в правила сумм сил осцилляторов

$$S_{nl}(q) = S_{nl}^{d}(q) + S_{nl}^{c}(q)$$

Здесь
$$S_{nl}^d(q) = \sum_{n'} 2\omega_{n'n}^{1+q} \left|\left\langle n'\right|z \left|nl
ight
angle
ight|^2$$

– суммарный вклад дискретного спектра, где $\,\omega_{n'n}=\mathbb{E}_{n'}-\mathbb{E}_{nl}\,$ – частота дискретно-дискретного перехода;

$$S_{nl}^{c}(q) = \int_{-\infty}^{\infty} 2\omega_{\varepsilon n}^{1+q} \left| \left\langle \varepsilon | z | nl \right\rangle \right|^{2} d\varepsilon$$

– вклад непрерывного спектра, где $\omega_{\varepsilon n}=arepsilon+|\mathbb{E}_{nl}|$ – частота дискретно-непрерывного перехода.

Используя связь амплитуды дискретно-непрерывного перехода с сечением

$$\left|\left\langle \varepsilon \left| z \right| n l \right\rangle \right|^2 = \frac{c}{4\pi^2 \omega} \, \sigma_{nl}(\omega), \qquad \varepsilon = \omega - \left| \mathbb{E}_{nl} \right|,$$

представим

$$S_{nl}^{c}(q) = \frac{c}{2\pi^{2}} \int_{|E_{nl}|}^{\infty} \omega^{q} \sigma_{nl}(\omega) d\omega$$

Подставив сюда асимптотическое соотношение

$$\sigma_{nl}(\omega) = \sigma_{nl}^{thr} \left| \frac{\mathbb{E}_{nl}}{\omega} \right|^{\beta_{nl}},$$

получим

$$S_{nl}^{c}(q) = \frac{c\sigma_{nl}^{inr}}{2\pi^{2}(2n^{2})^{q+1}(\beta-q-1)}, \quad q \leq 1.$$

Можно видеть, что относительный вклад континуума $S_{nl}^c(q)/S_{nl}(q)$ для ридберговских состояний падает с ростом главного квантового числа n.

1) q=1: $S_{nl}(1) = \frac{4}{3} \langle nl \, | \, \hat{T} \, | \, nl \rangle = \frac{2}{3n^2}, \quad \hat{T} = \frac{\hat{p}^2}{2} - \text{ оператор кинетической энергии}$ $S_{nl}^c(1) \, / \, S_{nl}(1) \propto n^{-1/3}.$

2) q=0:
$$S_{nl}(0) \propto 1$$
, $S_{nl}^{c}(0) / S_{nl}(0) \propto n^{-1/3}$.

$$S_{nl}(-1) = \frac{2}{3} \langle nl | r^2 | nl \rangle = \frac{n^2}{3} [5n^2 + 1 - 3l(l+1)], \quad r$$
 – радиальная переменная $S_{nl}^c(-1)/S_{nl}(-1) \propto n^{-7/3}.$

В частности для пр-состояний атомов водорода,

$$\beta_{np} = \begin{cases} 2.1633 - 0.48/n + 4.907/n^2, & n \leq 10, \\ 2.3103 - 2.88/n + 14.175/n^2, & n > 10; \end{cases}$$

$$\sigma_{np}^{thr} = \begin{cases} 2.4677n^{53/32} \left(1 + 3.3792/n - 3.7911/n^2\right), & n \leq 10, \\ 2.4771n^{53/32} \left(1 + 3.5771/n - 6.0511/n^2\right), & n > 10. \end{cases}$$
 Рассчитанный с этими величинами относительный вклад (в %%)

Рассчитанный с этими величинами относительный вклад (в %%) непрерывного спектра в правила сумм для сил осцилляторов (q=0) и моментов сил осцилляторов (q=±1):

q	2p	3р	5р	7p	10p	20p	50p	100p	200p
-1	3.55	1.40	0.39	0.17	0.07	0.01	0	0	0
0	19.53	23.09	21.22	18.43	15.50	10.62	7.35	5.04	3.90
1	9.59	25.93	64.77	87.02	82.54	47.45	24.84	17.31	12.80

3.Сдвиг атомного уровня термоизлучением черного тела

$$\Delta \mathbb{E}_{n}^{BBR}(T) = -\frac{1}{4} \int_{0}^{\infty} E^{2}(\omega, T) \alpha_{n}(\omega) d\omega$$

$$E^{2}(\omega,T) = rac{8\omega^{3}}{\pi c^{3} \left[\exp\left(rac{\omega}{k_{B}T}
ight) - 1
ight]}$$
 — из распределения Планка для интенсивности излучения АЧТ

$$lpha_n(\omega) = \sum_{n'} rac{2\omega_{n'n} \left|\left\langle n' \middle| z \middle| n
ight
angle \right|^2}{\omega_{n'n}^2 - \omega^2}$$
 — динамическая поляризуемость атома в состоянии $\left| n
ight
angle$.

J.W. Farley and W.H. Wing. Phys.Rev.A 33 (1981) 2397:

$$\Delta \mathbb{E}_{n}^{BBR}(T) = -\frac{2}{\pi c^{3}} (k_{B}T)^{3} \sum_{n'} \left| \left\langle n' | z | n \right\rangle \right|^{2} \mathcal{F} \left(\frac{\omega_{n'n}}{k_{B}T} \right)$$

$$\mathcal{F}(y) = -2y \cdot \mathcal{PV} \left(\int_{0}^{\infty} \frac{x^{3} dx}{(x^{2} - y^{2})[\exp(x) - 1]} \right)$$

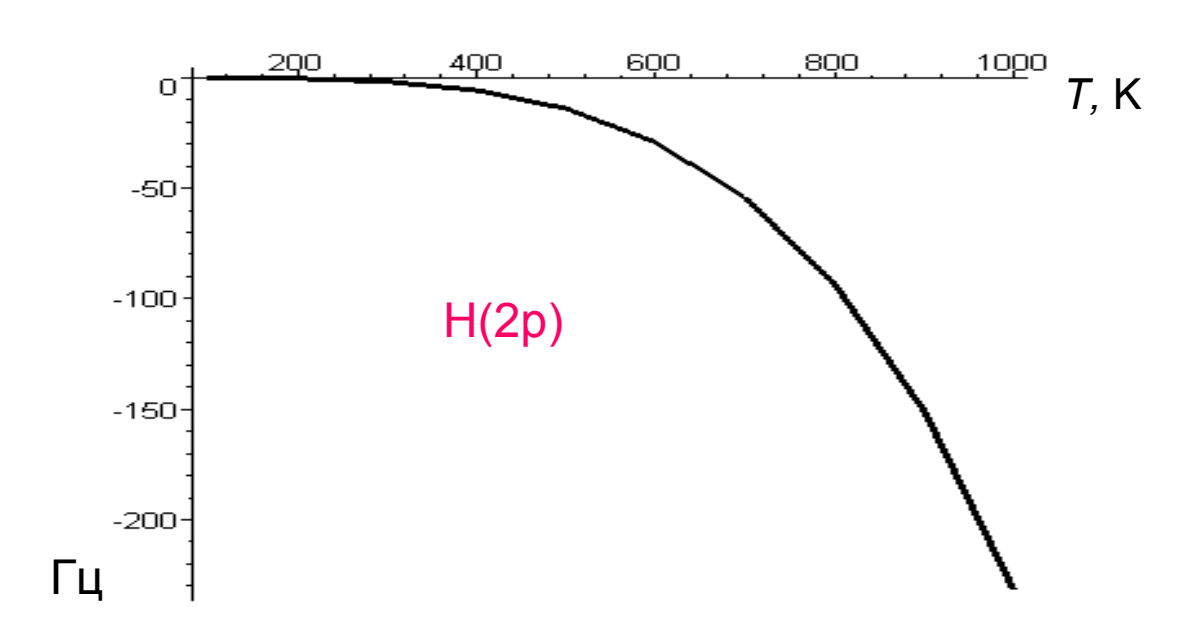
$$\frac{3}{2} \mathcal{F}$$

$$\frac{1}{2} \mathcal{F}$$

$$\mathcal{F}(y) pprox -rac{\pi^2}{3} y, \; y << 1; \qquad \mathcal{F}(y) pprox rac{2\pi^4}{15 y}, \; y >> 1$$

$$\left|\mathbb{E}_{n}\right|/k_{B}T>>1$$
:

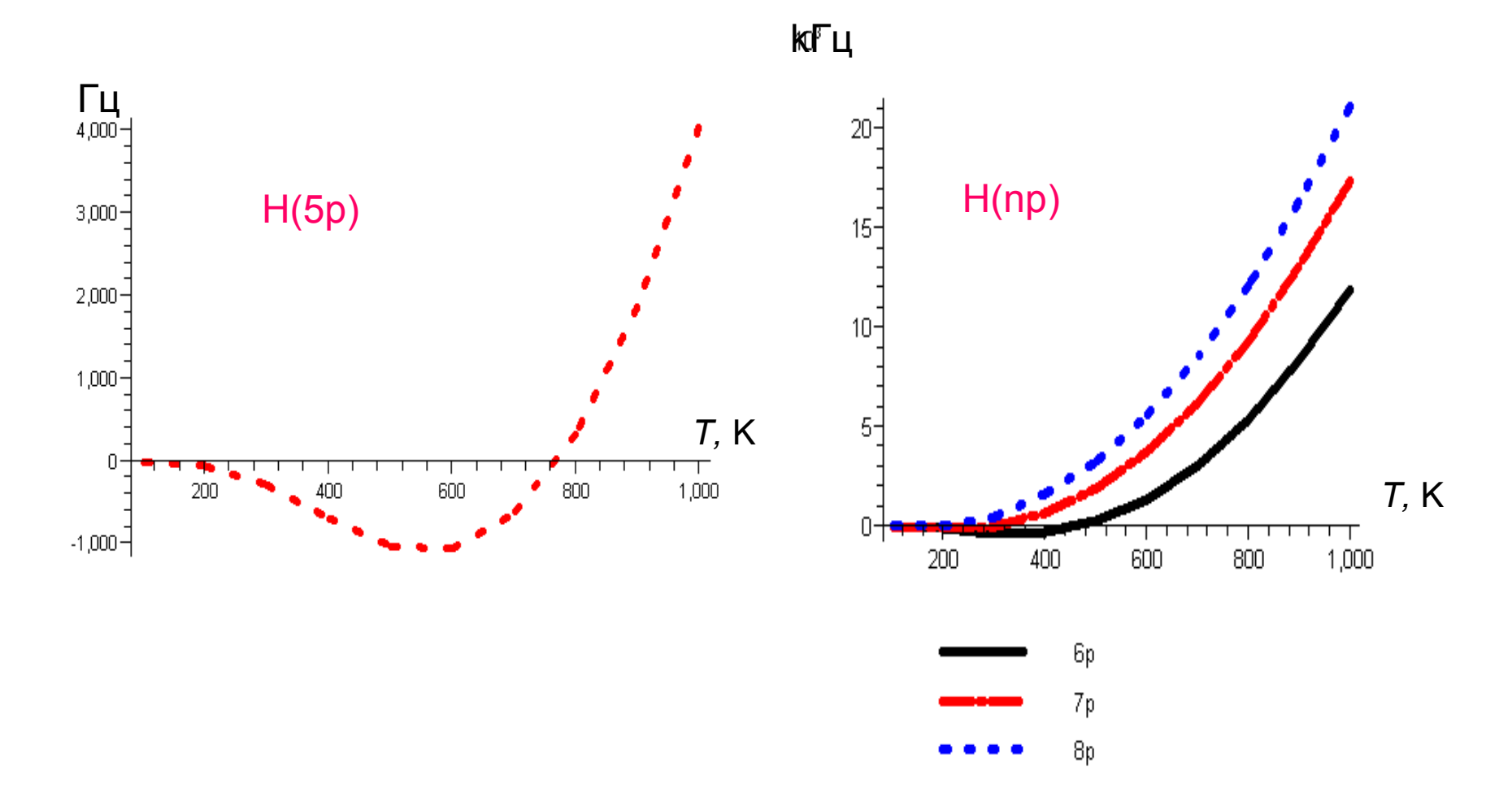
$$\alpha_n(\omega) \approx \alpha_n(0),$$



Температурная зависимость теплового сдвига 2р-уровня водорода $\Delta \mathbb{E}_{2p}^{\mathit{BBR}}(T)$

$$\Delta \mathbb{E}_{\mathrm{n}}^{\mathrm{BBR}}(T) \approx -\frac{2\pi^{3}}{15c^{3}}(kT)^{4}\alpha_{n}(0) = -8.6112 \left(\frac{T}{300K}\right)^{4}\alpha_{n}(0)$$
 мГц

 $\alpha_{n}(0)$ — статическая поляризуемость (в ат. ед.)



$$\Delta \mathbb{E}_{np}^{BBR}(T)$$
, $n=5,6,7,8$

Для ридберговских состояний:

$$\left|\mathbb{E}_{n}\right|/k_{B}T<<1$$
:

Тогда поляризуемость практически совпадает с высокочастотным пределом (поляризуемость свободного электрона):

$$\alpha_n(\omega) \approx -\frac{1}{\omega^2},$$

25-20-15-10-10-5-10-5-10-7, K

600

800

Температурная зависимость термоиндуцированных сдвигов $\Delta \mathbb{E}_{np}^{BBR}(T)$ ридберговских 10р и 30р уровней

$$\Delta \mathbb{E}_{\mathrm{n}}^{\mathrm{BBR}}(T) pprox rac{\pi (k_{B}T)^{2}}{3c^{3}} = 2416.6 \left(rac{T}{300K}
ight)^{2} \Gamma$$
Ц

103 Гц

200

1,000

$$\Delta \mathbb{E}_{n}^{BBR}(T) = \varepsilon_{n}^{d}(T) + \varepsilon_{n}^{c}(T)$$

$$\varepsilon_n^d = -\frac{2}{\pi c^3} (k_B T)^3 \sum_{n'} \left| \langle n' | z | n \rangle \right|^2 \mathcal{F} \left(\frac{\omega_{n'n}}{k_B T} \right)$$

$$\varepsilon_n^c = -\frac{2}{\pi c^3} (k_B T)^3 \int_0^\infty \left| \left\langle \varepsilon | z | n \right\rangle \right|^2 \mathcal{F} \left(\frac{\omega_{\varepsilon n}}{k_B T} \right) d\varepsilon, \quad \omega_{\varepsilon n} = \varepsilon + \left| \mathbb{E}_n \right|$$

$$\left|\left\langle \varepsilon \left| z \right| n l \right\rangle \right|^2 = \frac{c}{4\pi^2 \omega} \, \sigma_{nl}(\omega), \qquad \varepsilon = \omega - \left| \mathbb{E}_{nl} \right|,$$

$$\varepsilon_n^c = -\frac{(k_B T)^3}{2\pi^3 c^2} \int_{|\mathbb{E}_n|}^{\infty} \frac{\sigma_n(\omega)}{\omega} \mathcal{F}\left(\frac{\omega}{k_B T}\right) d\omega,$$

Используя приближенное соотношение (погрешность менее 1% для любого уровня водорода)

$$\sigma_n(\omega) \approx \sigma_n^{thr} \left| \frac{\mathbb{E}_n}{\omega} \right|^{\beta_n},$$

получим простую оценку для вклада непрерывного спектра в термо-индуцированный штарковский сдвиг:

$$\varepsilon_n^c = -\frac{\sigma_n^{thr}(k_B T)^3}{2\pi^3 c^2} \Psi_{\beta_n} \left(\frac{|\mathbb{E}_n|}{k_B T} \right),$$

где

$$\Psi_{\beta_n}(y) = \int_{1}^{\infty} \frac{\mathcal{F}(yx)}{x^{\beta_n + 1}} dx$$

Поскольку основной вклад в интеграл для $\Psi_{\beta_n}(y)$ дает область $1 \leq x < 2$, где

$$\mathcal{F}(yx) \approx -\frac{\pi^2}{3}yx$$
, $y << 1$; $\mathcal{F}(yx) \approx \frac{2\pi^4}{15yx}$, $y >> 1$,

то и для $\Psi_{\beta_*}(y)$ можно получить асимптотические оценки вида:

$$\Psi_{\beta_n}(y) \approx -\frac{\pi^2 y}{3(\beta_n - 1)} = \frac{\mathcal{F}(y)}{\beta_n - 1},$$
 для $y << 1;$

$$\Psi_{\beta_n}(y) \approx \frac{2\pi^4}{15y(\beta_n+1)} = \frac{\mathcal{F}(y)}{\beta_n+1}, \quad \text{для } y >> 1.$$

Соответствующие асимптотики для вкладов континуума имеют вид:

$$arepsilon_n^c pprox rac{\sigma_n^{thr} \mid \mathbb{E}_n \mid (k_B T)^2}{6\pi c^2(eta_n - 1)}$$
 при $\mid \mathbb{E}_n \mid << k_B T;$ $\qquad arepsilon_n^c pprox - rac{\pi \sigma_n^{thr} (k_B T)^4}{15 \mid \mathbb{E}_n \mid c^2(eta_n + 1)}$ при $\mid \mathbb{E}_n \mid >> k_B T$

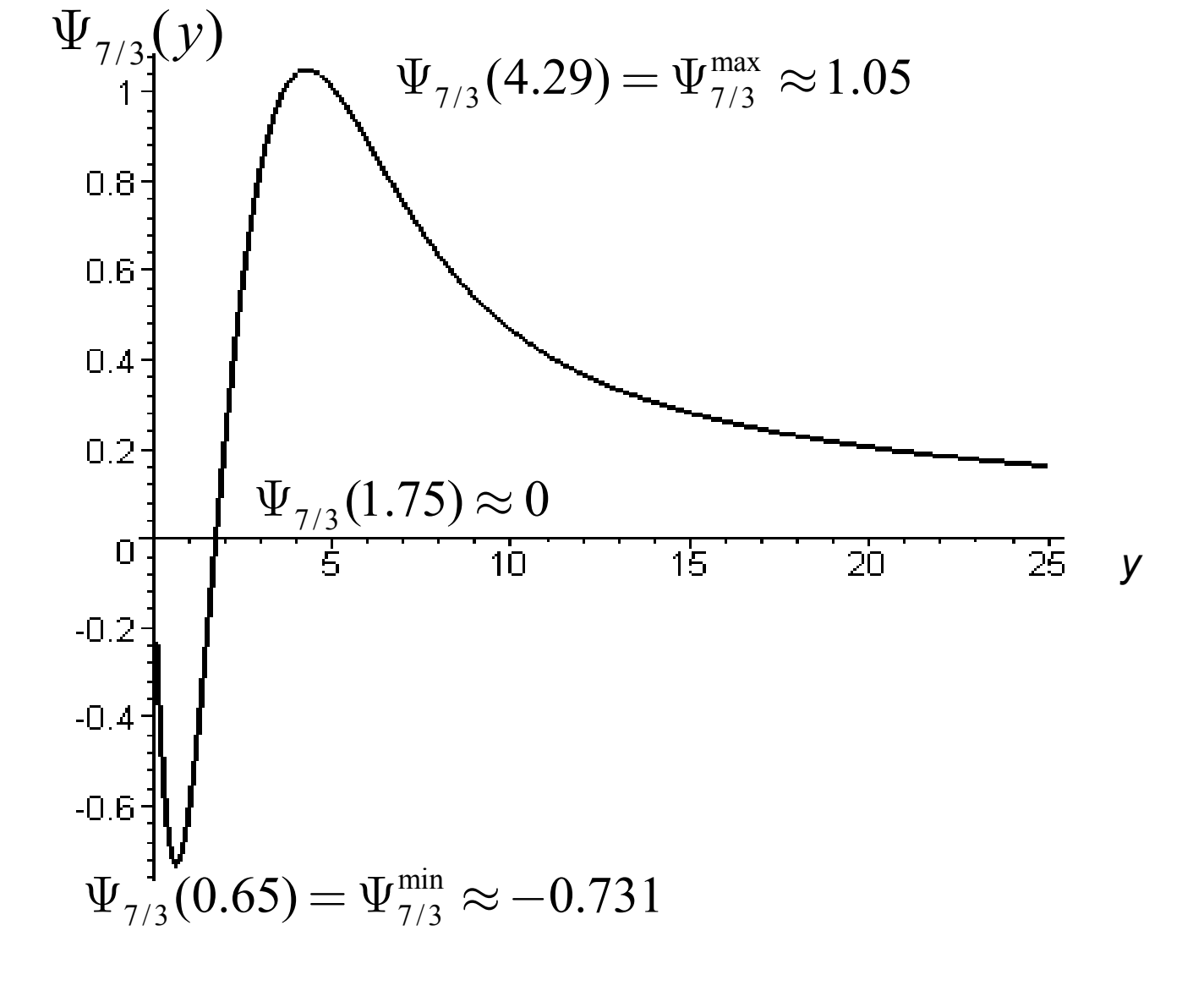
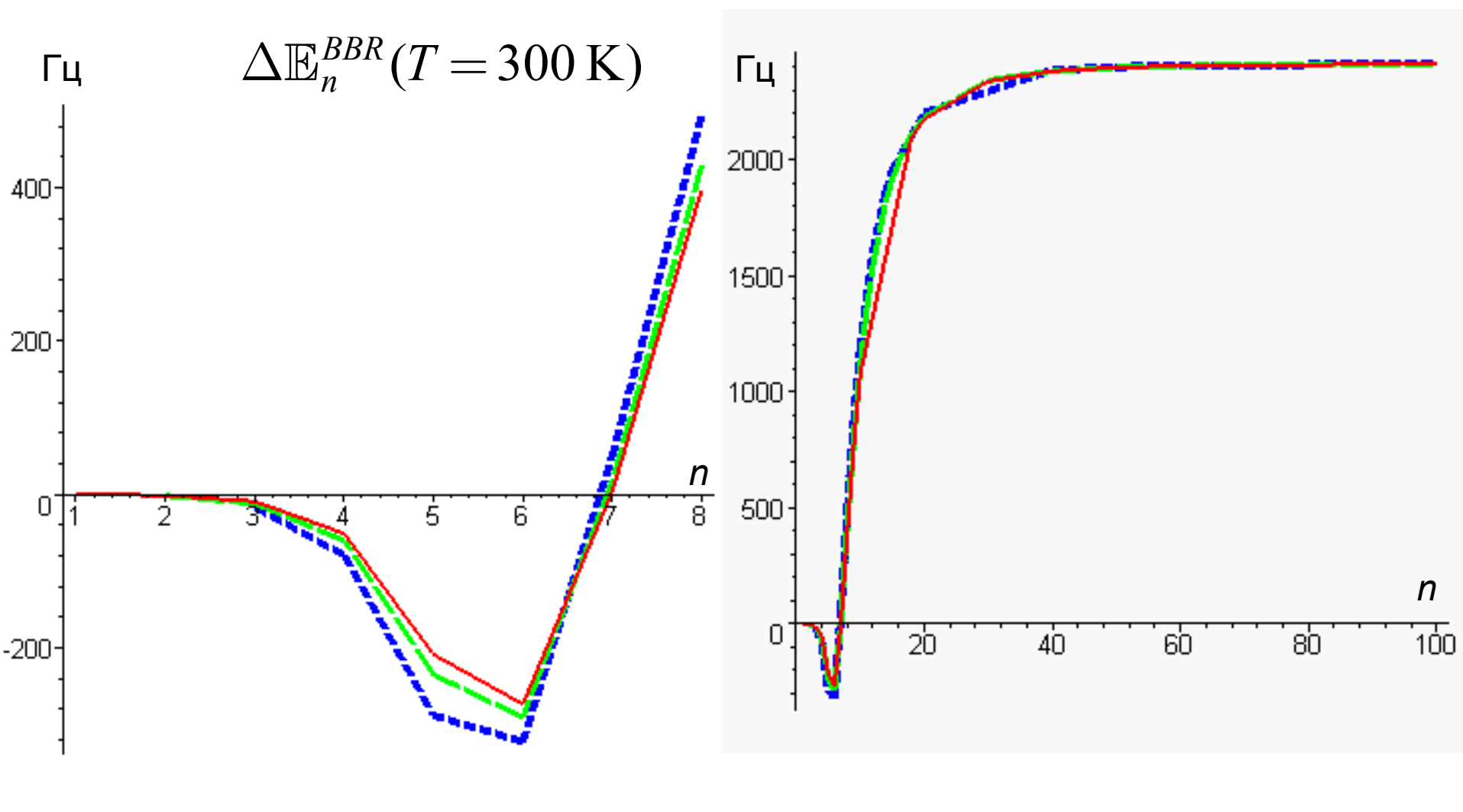
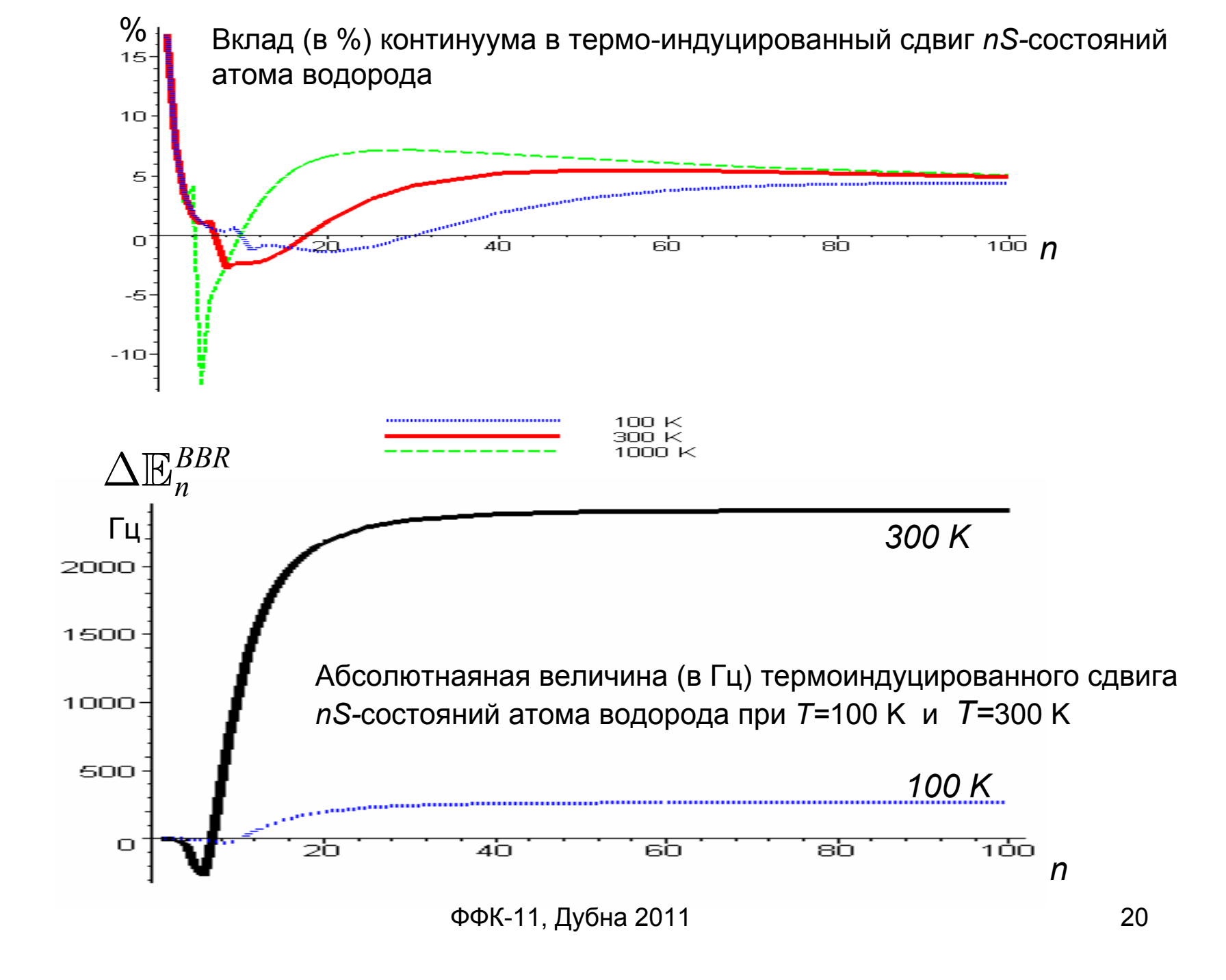
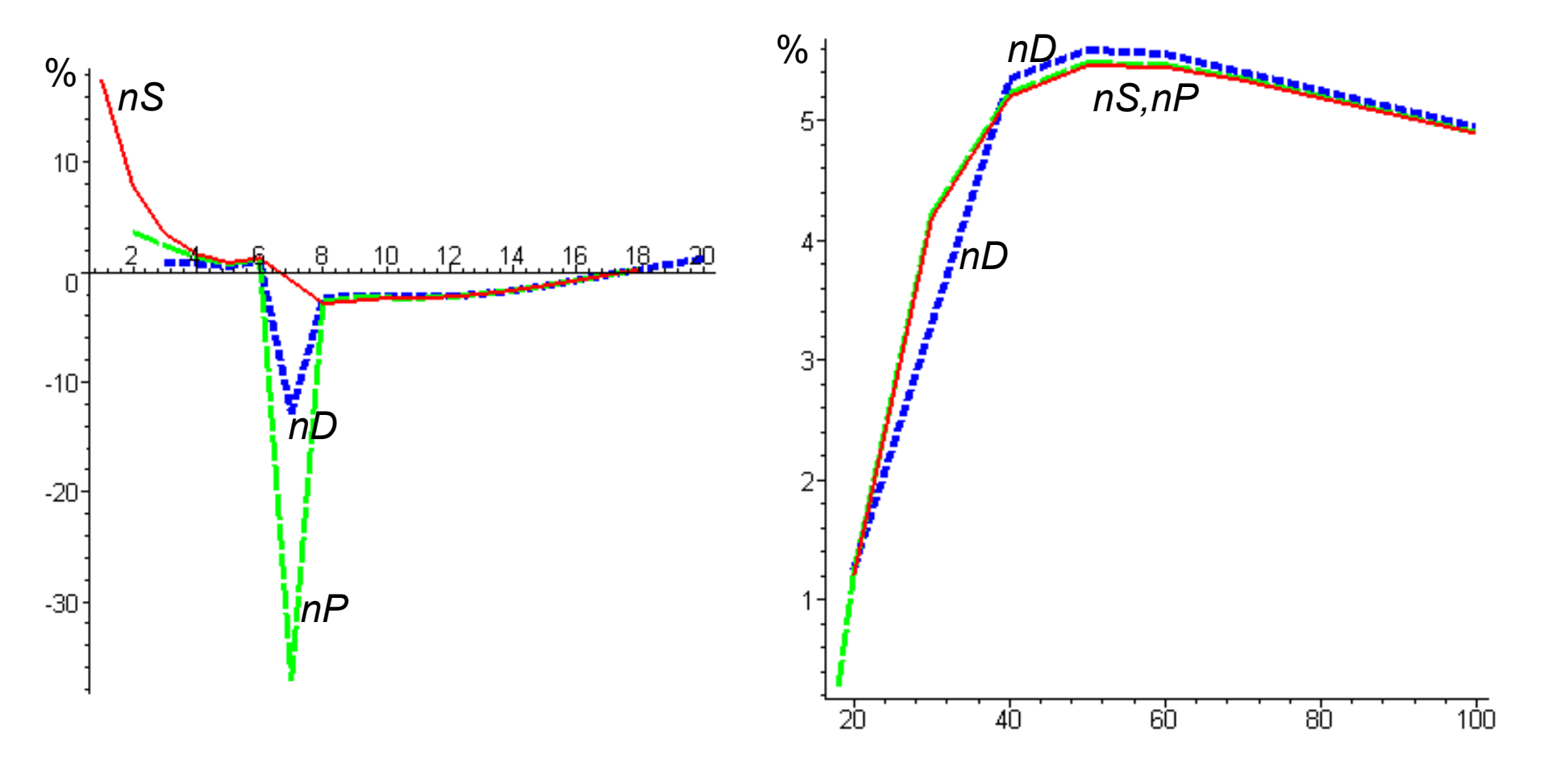


График функции $\Psi_{7/3}(y)$.



Штарковские сдвиги nS (красные сплошные линии), nP (зеленые прерывистые) и nD-состояний (синие штриховые) в атомах водорода при T=300 K





Вклад (в %%) континуума в штарковский сдвиг nS, nP, и nD-состояний в поле теплового излучения окружающей среды при T=300 K.

4. Заключение

- 1. Оценка вклада непрерывного спектра в оптические характеристики для ридберговских состояний атомов существенно упрощается при использовании асимптотических свойств сечения ионизации.
- 2. Относительный вклад континуума в правила сумм сил осцилляторов $S_n(q)$ убывает с ростом главного квантового числа, а также с убыванием порядка момента $q \le 1$.
- 3. Вклад континуума в штарковский сдвиг уровня в поле теплового излучения окружающей среды существенно зависит как от главного квантового числа, так и от температуры, и может быть близким к 100%.